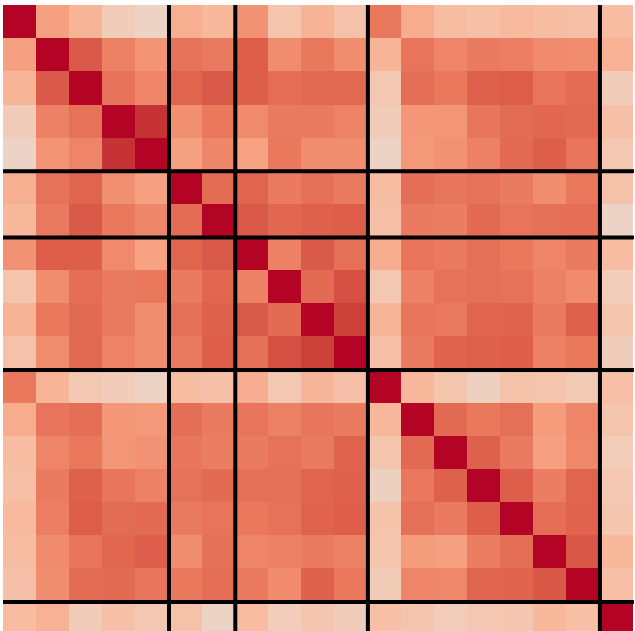
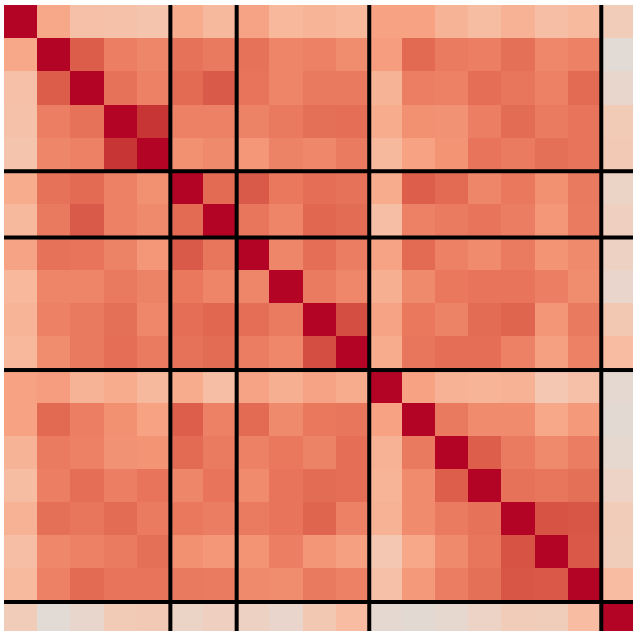


naep-reading-4

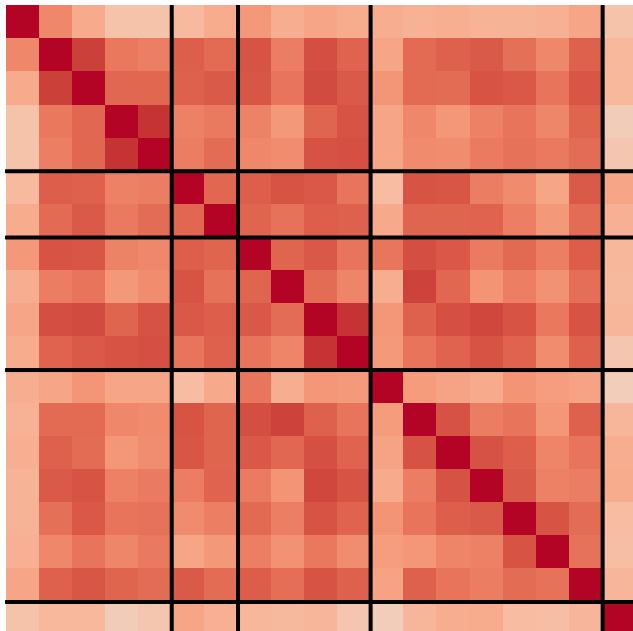
Llama-3.2-1B
Llama-3.2-3B
Llama-3.1-8B
Llama-3.1-70B
Llama-3.3-70B
OLMo-2-7B
OLMo-2-13B
Phi-3-3.8B
Phi-3-7B
Phi-3-14B
Phi-4-14B
Qwen2.5-0.5B
Qwen2.5-1.5B
Qwen2.5-3B
Qwen2.5-7B
Qwen2.5-14B
Qwen2.5-32B
Qwen2.5-72B
Human



naep-reading-8

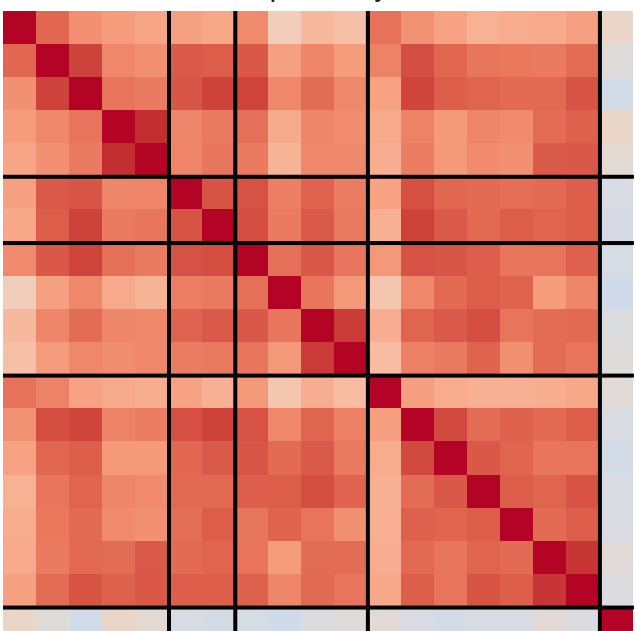


naep-reading-12

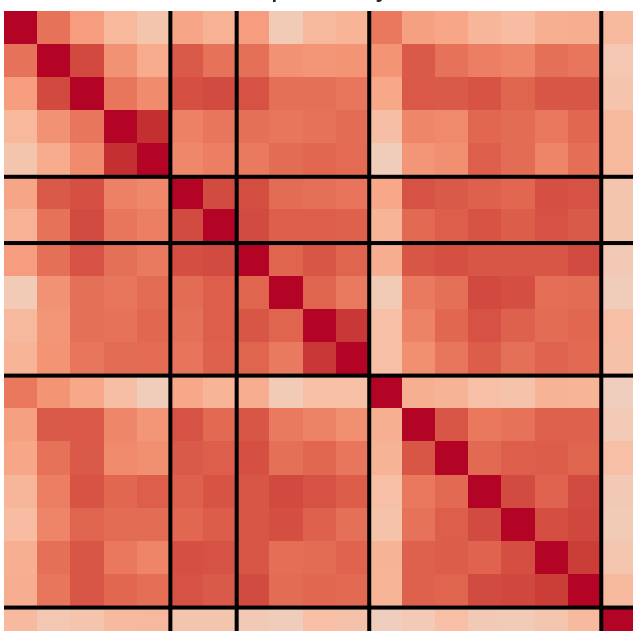


naep-history-4

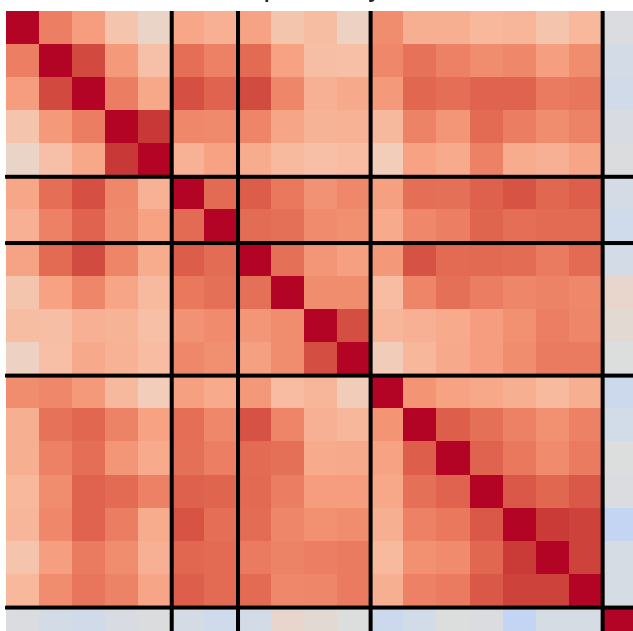
Llama-3.2-1B
Llama-3.2-3B
Llama-3.1-8B
Llama-3.1-70B
Llama-3.3-70B
OLMo-2-7B
OLMo-2-13B
Phi-3-3.8B
Phi-3-7B
Phi-3-14B
Phi-4-14B
Qwen2.5-0.5B
Qwen2.5-1.5B
Qwen2.5-3B
Qwen2.5-7B
Qwen2.5-14B
Qwen2.5-32B
Qwen2.5-72B
Human



naep-history-8

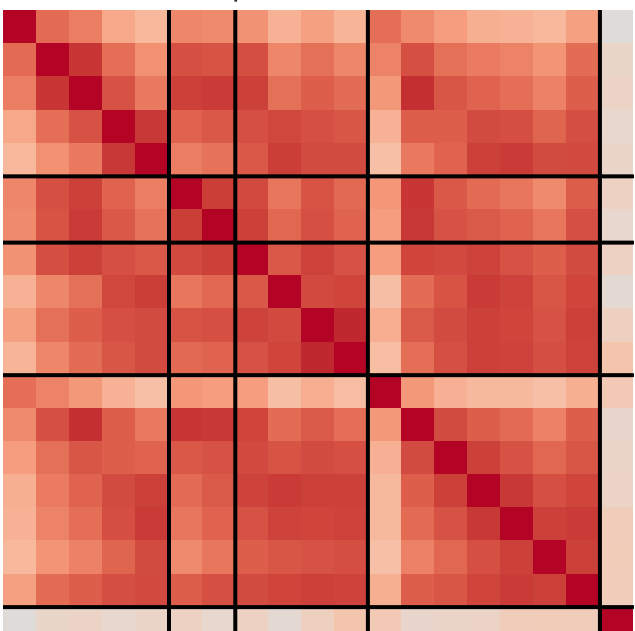


naep-history-12

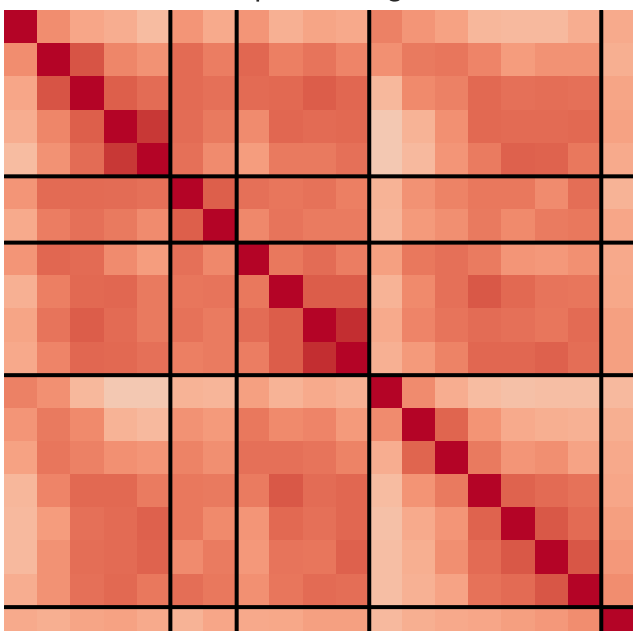


naep-economics-12

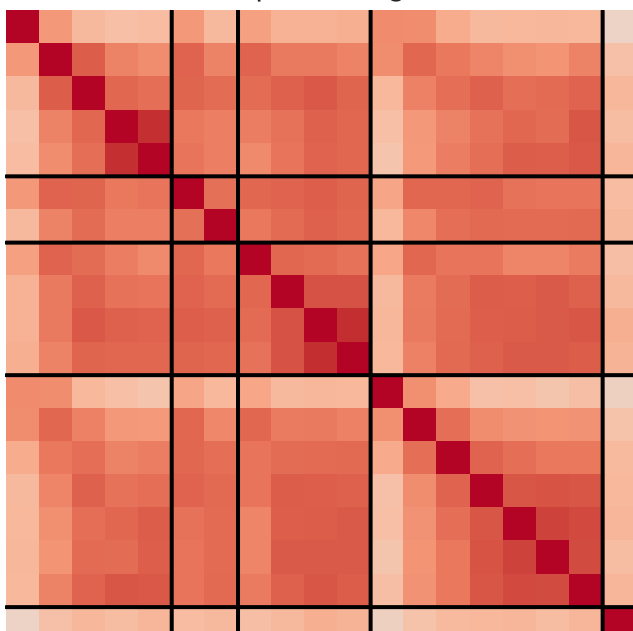
Llama-3.2-1B
Llama-3.2-3B
Llama-3.1-8B
Llama-3.1-70B
Llama-3.3-70B
OLMo-2-7B
OLMo-2-13B
Phi-3-3.8B
Phi-3-7B
Phi-3-14B
Phi-4-14B
Qwen2.5-0.5B
Qwen2.5-1.5B
Qwen2.5-3B
Qwen2.5-7B
Qwen2.5-14B
Qwen2.5-32B
Qwen2.5-72B
Human



cmcqrd-reading-B1

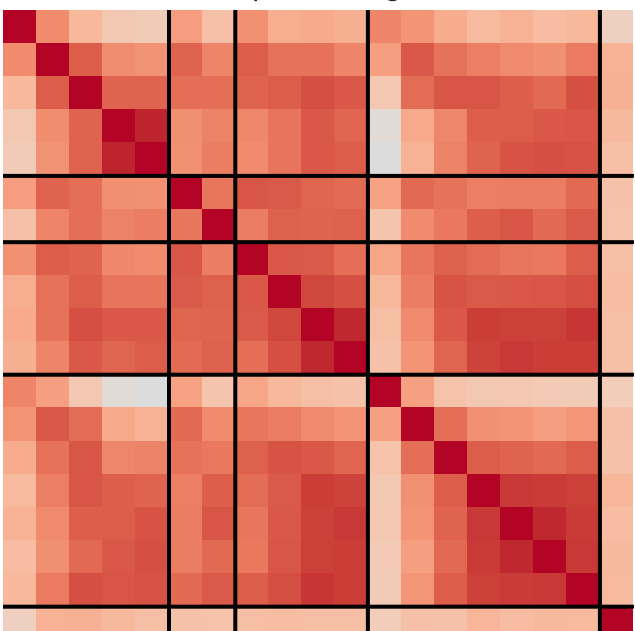


cmcqrd-reading-B2

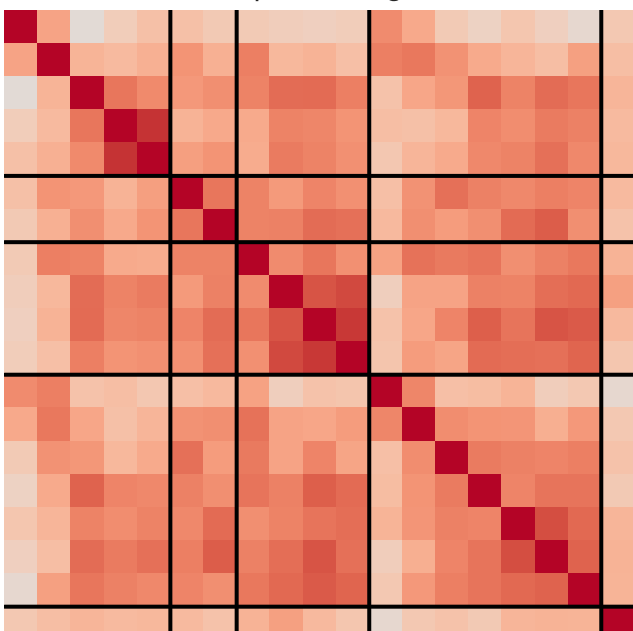


cmcqrd-reading-C1

Llama-3.2-1B
Llama-3.2-3B
Llama-3.1-8B
Llama-3.1-70B
Llama-3.3-70B
OLMo-2-7B
OLMo-2-13B
Phi-3-3.8B
Phi-3-7B
Phi-3-14B
Phi-4-14B
Qwen2.5-0.5B
Qwen2.5-1.5B
Qwen2.5-3B
Qwen2.5-7B
Qwen2.5-14B
Qwen2.5-32B
Qwen2.5-72B
Human



cmcqrd-reading-C2



Llama-3.2-1B
Llama-3.2-3B
Llama-3.1-8B
Llama-3.1-70B
Llama-3.3-70B
OLMo-2-7B
OLMo-2-13B
Phi-3-3.8B
Phi-3-7B
Phi-3-14B
Phi-4-14B
Qwen2.5-0.5B
Qwen2.5-1.5B
Qwen2.5-3B
Qwen2.5-7B
Qwen2.5-14B
Qwen2.5-32B
Qwen2.5-72B
Human

